

УДК 531.13

В. И. Драновский<sup>1</sup>, А. Е. Закржевский<sup>2</sup>, В. С. Хорошилов<sup>1</sup>

<sup>1</sup>Державне конструкторське бюро «Південне» ім. М. К. Янгеля, Дніпропетровськ

<sup>2</sup>Інститут механіки ім. С. П. Тимошенка НАН України, Київ

## Динамика тел с деформируемой программно изменяемой космической конфигурацией системы

*Надійшла до редакції 25.12.03*

Проведено побудову узагальненої математичної моделі і комп'ютерне моделювання динаміки космічного апарату, що несе пружне тіло змінної геометрії, зумовленої розгортанням за заданою програмою компактно сформованої системи у подовжений пружний елемент типу антени чи штанги гравітаційного стабілізатора.

### ВВЕДЕНИЕ

Трансформируемые на орбите конструкции являются одними из основных составляющих современных космических систем. Несмотря на большие достижения в области динамики систем тел, такие конструкции не всегда могут быть изучены в рамках классической теории. Упругая штанга гравитационного стабилизатора в составе космического аппарата (КА) переменной конфигурации, которая формируется на орбите из предварительно напряженной ленты, равно как и синтезируемая ферма, не укладываются в рамки классических математических моделей динамики систем тел даже с учетом их упругих свойств, поскольку в процессе развертывания они изменяют свою форму, а также упругие и инерционные характеристики.

Таким образом, в этой области появились проблемы, которые раньше не разрабатывались по разным причинам. В ряде случаев это было связано с отсутствием предпосылок для постановки задач. Так, разработчиков КА часто не интересовало воздействие процесса выдвижения деформируемого гравитационного стабилизатора (ГС) или антенн, смотанных предварительно в рулон, на ориентацию КА, поскольку относительная масса всего узла была небольшой.

С началом широких исследований в области малых и микроспутников, для которых выдвигаемые элементы соизмеримы по массе со всей системой,

эта проблема оказалась очень актуальной и недостаточно исследованной. Она имеет разные аспекты в связи с разнообразием новых конструктивных решений для выдвигаемых космических конструкций.

Целью настоящего исследования является построение обобщенной математической модели и компьютерное моделирование динамики КА, несущего упругое тело переменной геометрии, определяемой развертыванием по заданной программе компактно сформированной системы в удлиненный упругий элемент типа антенны или штанги гравитационного стабилизатора КА.

### ФИЗИЧЕСКАЯ МОДЕЛЬ СИСТЕМЫ

На современном этапе создания КА планируется применение трансформируемых конструкций, основанных на использовании выдвигаемых стержней незамкнутого и замкнутого профиля, которые создаются из упругих пружинных лент, а также развертываемых ферменных конструкций.

В качестве примера может быть рассмотрена конструкция гравитационного стабилизатора КА, основные элементы которой приведены на рис. 1.

Аналогичные развертываемые конструкции предусматриваются и на ряде микроспутников, которые выводятся на орбиту в виде субспутников с массами порядка 100 кг. При развертывании опи-

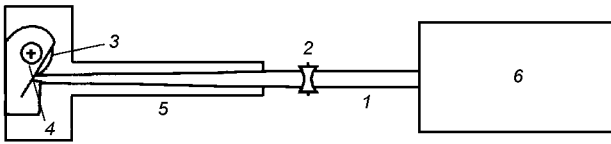


Рис. 1. Конструкция гравитационного стабилизатора КА с механизмом выдвижения: 1 — упругая штанга гравитационного стабилизатора, сформированная из предварительно напряженной ленты, 2 — направляющий ролик, 3 — лента, намотанная на барабан, 4 — механизм разматывания ленты, 5 — корпус устройства развертывания, 6 — груз

санных трансформируемых конструкций на таких аппаратах в динамику движения вокруг центра масс вносятся существенные возмущения, описать которые в рамках математических моделей, известных в теории систем тел [3], не представляется возможным.

Развертываемые конструкции описанного типа, в особенности создаваемые из стержней незамкнутого профиля, имеют существенную гибкость. В результате предъявления определенных требований к форме выдвижных стержней, связанных, например, с обеспечением стабилизации спутника относительно орбитальной системы координат с заданной точностью, накладываются определенные ограничения на параметры процесса развертывания. Достоверное численное моделирование поможет дать ответы на ряд вопросов, связанных с этой проблемой.

#### МЕХАНИЧЕСКАЯ МОДЕЛЬ СИСТЕМЫ

Применительно к случаям развертывания гравитационного стабилизатора КА на орбите с учетом его упругих свойств механическая модель может быть представлена в виде несущего твердого тела и системы развертывания, показанной на рис. 2. Здесь  $CXYZ$  — абсолютный базис,  $C_1xyz$  — базис, связанный с несущим телом, с началом в его центре масс  $C_1$ ; ось  $C_1z$  направлена вдоль расчетного положения оси гравитационного стабилизатора. Под несущим телом  $S_1$  здесь понимаем всю гиростатическую часть системы, под несомым телом  $S_2$  — развертываемую часть с центром масс в точке  $C_2$  без ее гиростатических составляющих (например, без массы барабана для намотки ленты; вращение барабана учтено при вычислении относительного кинетического момента системы). Движение несущего тела будем определять вектором  $v_{C_1}$  скорости полюса, в качестве которого выберем точку  $C_1$ , и вектором его абсолютной угловой скорости  $\omega$ . Положение носимой материальной точки  $M_i$  отно-

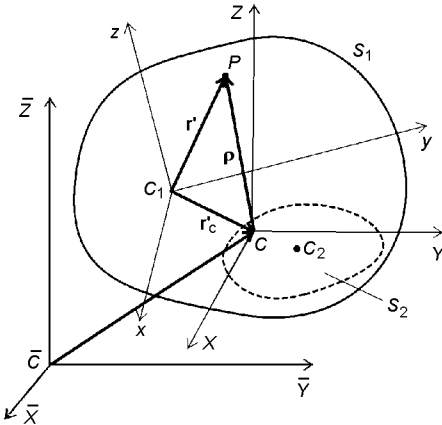


Рис. 2. Обобщенная механическая модель КА с развертываемым гравитационным стабилизатором в виде несущего тела  $S_1$  с неизменяемой геометрией и несомого тела  $S_2$  переменной геометрии

сительно инерциальной координатной системы  $CXYZ$  будем определять радиусом-вектором  $r_i$ , а относительно системы  $C_1xyz$ , связанной с несущим телом, — радиусом-вектором  $r'_i$ . В отличие от задачи динамики относительного движения носимых тел, описанной в [4], здесь рассматривается общий случай, когда время входит явно в выражение для  $r'_i$ , а не только через обобщенные координаты:  $r'_i = r'_i(q_1, \dots, q_n, t)$ , поскольку система развертывания гравитационного стабилизатора выдвигает упругий стержень по заданному во времени закону. В результате  $r'_i$  изменяется во времени в течение развертывания даже при тождественно равных нулю значениях обобщенных координат, определяющих относительные упругие перемещения штанги гравитационного стабилизатора. В дальнейшем в качестве обобщенных координат, определяющих упругие перемещения гравитационного стабилизатора, будем рассматривать относительные перемещения центра масс груза в направлении осей  $C_1x$  и  $C_1y$ . Учитывая, что масса даже полностью выдвинутого стержня существенно меньше массы груза, ограничимся удержанием только одной формы для каждого направления. При этом следует подчеркнуть, что в процессе выдвижения стержня собственные числа, а следовательно, и собственные формы, и частоты колебаний будут изменяться. Поскольку угловые скорости в рассматриваемых режимах малы, а выдвижение и свертывание штанги гравитационного стабилизатора предполагается медленным, влиянием продольных сил

на формы парциальных колебаний будем пренебречь. Используя для представления собственных форм упругих колебаний в двух плоскостях защемленного на одном конце стержня функции Крылова [4], можно показать, что характеристическое уравнение в этом случае имеет вид

$$V(kl)T(kl) - S(kl)^2 + \\ + kl \frac{m_{gs}}{m_b} [T(kl)U(kl) - V(kl)S(kl)] = 0,$$

где  $S(kl)$ ,  $T(kl)$ ,  $U(kl)$ ,  $V(kl)$  — функции Крылова,  $kl$  — корни характеристического уравнения,  $m_{gs}$  и  $m_b$  — массы груза и выдвинутой части стержня соответственно. В начальный момент выдвижения гравитационного стабилизатора это уравнение вырождено, на что следует обратить внимание при численном моделировании.

Барабан с разматываемой лентой можно рассматривать как несомый маховик с переменным моментом инерции, а все тело  $S_2$  — как тело с подвижным относительно  $C_1$  центром масс и переменным тензором инерции.

## МАТЕМАТИЧЕСКАЯ МОДЕЛЬ СИСТЕМЫ

Для построения математической модели рассматриваемой системы обратимся к формализму построения уравнений Лагранжа второго рода. В соответствии с рис. 2 радиус-вектор произвольной точки  $P$  системы в абсолютном базисе может быть записан как  $\mathbf{r} = \mathbf{r}_C + \rho = \mathbf{r}_C - \mathbf{r}'_C + \mathbf{r}'$ . Абсолютная скорость произвольной точки  $P$  тела  $S_1$  имеет вид  $\mathbf{v} = \mathbf{v}_C + \dot{\rho} = \mathbf{v}_C + \omega \times \mathbf{r}' - \omega \mathbf{r}'_C$ . Для произвольной точки тела  $S_2$  —

$$\mathbf{v} = \mathbf{v}_C + \dot{\rho} = \mathbf{v}_C + \mathbf{r}' - \mathbf{r}'_C + \omega \times \mathbf{r}' - \omega \times \mathbf{r}'_C.$$

Кинетическую энергию всей системы можно записать в виде

$$T_{S_1+S_2} = \frac{1}{2} \int_{S_1+S_2} v^2 dm.$$

После интегрирования

$$T_{S_1+S_2} = \frac{1}{2} M(\mathbf{v}_{C_1}^2 + 2\mathbf{v}_{C_1} \cdot \omega \times \mathbf{r}_C + \omega \cdot \Theta_{S_1+S_2}^{C_1} \cdot \omega) + \\ + \mathbf{v}_{C_1} \cdot \mathbf{Q}_r + \omega \cdot \mathbf{K}_{S_2}^{C_1} + T_r. \quad (1)$$

Здесь использованы следующие обозначения:

$$\mathbf{Q}_r = \int_{S_2}^* \mathbf{r}_C dm = m_2 \mathbf{r}_{C_2} \quad \text{и} \quad T_r = \int_{S_2}^* (\mathbf{r}')^2 dm$$

— соответственно главный вектор относительных количеств движения и кинетическая энергия относительного движения,  $\Theta_{S_1+S_2}^{C_1}$  — тензор инерции всей системы относительно точки  $C_1$ ,  $M$  — масса всей системы,  $\mathbf{K}_{S_2}^{C_1}$  — относительный кинетический момент развертываемой части относительно точки  $C_1$ ,  $m_2$  — масса негиростатической части развертываемой подсистемы, звездочкой обозначено дифференцирование по времени в связанном базисе.

В результате для квазискоростей  $v_{C_1}$ ,  $\omega_i$  получим следующие векторные уравнения Эйлера — Лагранжа:

$$M [\mathbf{v}_{C_1} + \omega \times \mathbf{v}_{C_1} + \dot{\omega} \times \mathbf{r}'_C + \omega \times (\omega \times \mathbf{r}'_C) + \\ + 2\omega \times \mathbf{r}'_C + \mathbf{r}'_C] = \mathbf{V}_s, \quad (2)$$

$$\Theta_{S_1+S_2}^{C_1} \cdot \dot{\omega} + \Theta_{S_1+S_2}^{C_1} \cdot \omega + \omega \times (\Theta_{S_1+S_2}^{C_1} \cdot \omega) + \mathbf{K}_r^{C_1} + \\ + \omega \times \mathbf{K}_r^{C_1} + M \mathbf{r}_{C_1} \times (\mathbf{v}_{C_1} + \omega \times \mathbf{v}_{C_1}) = \mathbf{m}^{C_1}. \quad (3)$$

В общем виде уравнения относительного движения носимых тел в соответствии с [4] можно записать следующим образом:

$$E_s(T_r) = Q_s - M(\mathbf{v}_{C_1} + \omega \times \mathbf{v}_{C_1}) \frac{\partial \mathbf{r}_{C_1}}{\partial q_s} + \\ + \frac{1}{2} \omega \cdot \frac{\partial \Theta_{S_1+S_2}^{C_1}}{\partial q_s} \cdot \omega - \dot{\omega} \cdot \frac{\partial \mathbf{K}_r^{C_1}}{\partial q_s} - \omega \cdot E_s(\mathbf{K}_r^{C_1}), \quad (4)$$

$$s = 1, 2.$$

Здесь  $E_s(\cdot)$  — оператор Эйлера,  $Q_s$  — обобщенные силы, учитывающие упругие и диссипативные свойства конструкции.

Если дополнить систему уравнений (2) — (4) кинематическими уравнениями, получим замкнутую систему уравнений движения, для которой можно поставить задачу Коши с целью проследить во времени поведение системы при изменении ее геометрии. Чтобы конкретизировать задачу исследования, введем две системы координат. Система  $C_1xyz$ , как и выше, является координатным базисом, связанным с неизменной частью объекта исследования. Применительно к конкретному рассматриваемому далее КА она показана на рис. 3.

Кроме этого, введем орбитальную систему координат, относительно которой в дальнейшем будем рассматривать поведение КА. Эта система координат вводится традиционным способом [1] и связана с центром масс  $C$  всей системы. На рис. 4 она

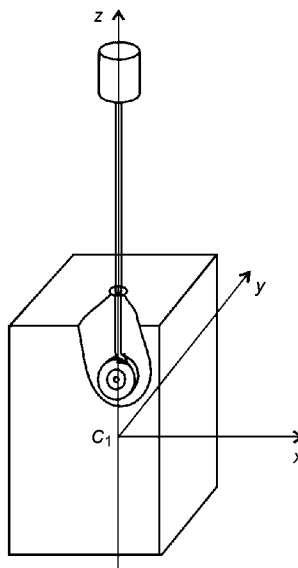


Рис. 3. Основные элементы микроспутника с системой развертывания гравитационного стабилизатора

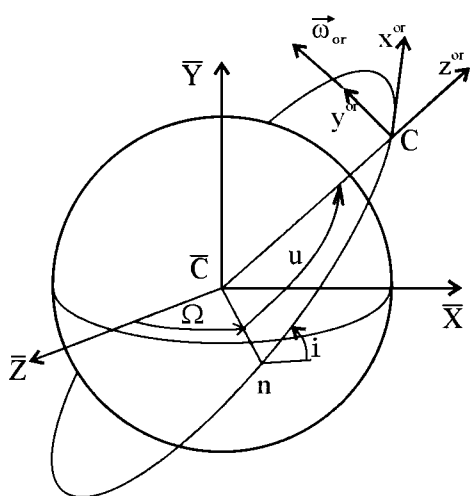


Рис. 4. Системы координат, в которых рассматривается движение КА с развертываемым гравитационным стабилизатором

показана так, что ось  $Cx^{or}$  направлена по вектору скорости КА, ось  $Cy^{or}$  направлена по бинормали к орбите, ось  $Cz^{or}$  направлена по местной вертикали. Система координат  $CXYZ$ , как и выше, — абсолютная и связана с Землей так, что ось  $CY$  направлена вдоль оси вращения Земли, ось  $CZ$  направлена в точку весеннего равноденствия, ось  $CX$  дополняет систему до правой. На рис. 4 угол  $\Omega$  обозначает долготу восходящего узла от точки весны,  $i$  —

наклонение орбиты,  $u$  — аргумент широты,  $\omega^{or}$  — вектор орбитальной угловой скорости. Пренебрегая прецессией орбиты применительно к рассматриваемому процессу, в дальнейшем будем считать абсолютную угловую скорость орбитального базиса равной  $\omega^{or}$ .

К выбору кинематических параметров, определяющих ориентацию несущего тела в орбитальных осях, здесь следует отнести с осторожностью. В рассматриваемом случае мы имеем дело с режимом движения, при котором возможны существенные нарушения ориентации КА, вплоть до изменения ее на обратную. Поэтому остановим свой выбор на параметрах Родрига — Гамильтона. Кинематические уравнения, записанные в этих параметрах, не вырождаются ни при каких их значениях, что особенно важно для численного моделирования. В скалярном виде эти уравнения можно записать следующим образом [2]:

$$\begin{aligned} \dot{\lambda}_0 &= -\tilde{\omega}_1\lambda_1 - \tilde{\omega}_2\lambda_2 - \tilde{\omega}_3\lambda_3, \\ \dot{\lambda}_1 &= \tilde{\omega}_1\lambda_0 + \tilde{\omega}_3\lambda_2 - \tilde{\omega}_2\lambda_3, \\ \dot{\lambda}_2 &= \tilde{\omega}_2\lambda_0 + \tilde{\omega}_1\lambda_3 - \tilde{\omega}_3\lambda_1, \\ \dot{\lambda}_3 &= \tilde{\omega}_3\lambda_0 + \tilde{\omega}_2\lambda_1 - \tilde{\omega}_1\lambda_2. \end{aligned} \quad (5)$$

Здесь  $\lambda_0, \lambda_1, \lambda_2, \lambda_3$  — компоненты кватерниона, осуществляющего преобразование орбитального базиса в связанный,  $\tilde{\omega}_i = \omega_i - \omega_{oi}$  ( $i = 1, 2, 3$ ),  $\omega_i$  — проекции вектора абсолютной угловой скорости несущего тела на оси связанного с ним базиса,  $\omega_{oi}$  — проекции вектора орбитальной угловой скорости также на связанный базис. Поскольку вектор орбитальной угловой скорости коллинеарен оси  $Cy^{or}$ , его проекции на оси связанного базиса определяются с помощью матрицы соответствующих направляющих косинусов, записанной в компонентах кватерниона [4]. В результате

$$\begin{aligned} \omega'_{o1} &= 2(\lambda_0\lambda_3 + \lambda_1\lambda_2)\omega_o, \\ \omega'_{o2} &= (\lambda_0^2 + \lambda_2^2 - \lambda_1^2 - \lambda_3^2)\omega_o, \\ \omega'_{o3} &= 2(-\lambda_0\lambda_1 + \lambda_2\lambda_3)\omega_o. \end{aligned}$$

Поскольку более привычными для иллюстрации положения в пространстве связанного координатного базиса являются все же углы ориентации типа углов Крылова [4], воспользуемся последовательностью поворотов, показанных на рис. 5, для введения углов ориентации  $\varphi, \theta, \psi$  (соответственно угол крена, угол тангажа и угол курса).

Поставим в соответствие каждому из поворотов отдельный собственный кватернион:

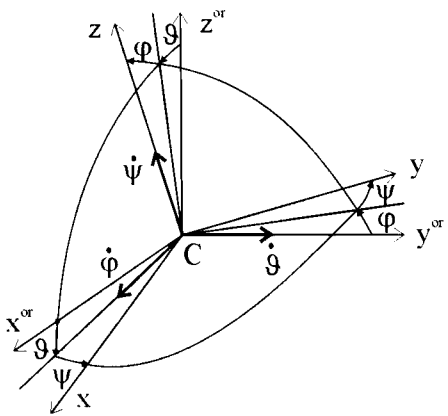


Рис. 5. Углы Крылова. При использовании такой последовательности поворотов вырождение кинематических уравнений происходит при значениях угла крена  $\pm(2k+1)\pi/2$  ( $k = 0, 1, \dots$ )

$$M = \cos \frac{\theta}{2} + i_2 \sin \frac{\theta}{2},$$

$$N = \cos \frac{\varphi}{2} + i_1 \sin \frac{\varphi}{2},$$

$$P = \cos \frac{\psi}{2} + i_3 \sin \frac{\psi}{2},$$

где  $i_1, i_2, i_3$  — орты гиперкомплексного пространства  $H$ , формально совпадающие с ортами осей поворотов.

Используя правило умножения собственных кватернионов  $\Lambda = M \circ N \circ P$ , где символ  $\circ$  определяет операцию умножения кватернионов [2], получим для составляющих собственного кватерниона результирующего поворота следующие выражения через углы Крылова:

$$\begin{aligned} \lambda_0 &= \cos \frac{\psi}{2} \cos \theta_2 \cos \frac{\varphi}{2} + \sin \frac{\psi}{2} \sin \theta_2 \sin \frac{\varphi}{2}, \\ \lambda_1 &= \cos \frac{\psi}{2} \cos \theta_2 \sin \frac{\varphi}{2} - \sin \frac{\psi}{2} \sin \theta_2 \cos \frac{\varphi}{2}, \\ \lambda_2 &= \cos \frac{\psi}{2} \sin \theta_2 \cos \frac{\varphi}{2} + \sin \frac{\psi}{2} \cos \theta_2 \sin \frac{\varphi}{2}, \\ \lambda_3 &= \sin \frac{\psi}{2} \cos \theta_2 \cos \frac{\varphi}{2} + \cos \frac{\psi}{2} \sin \theta_2 \sin \frac{\varphi}{2}, \end{aligned} \quad (6)$$

Эти зависимости удобно использовать, например, при формулировании начальных условий в привычных переменных и при вычислении начальных значений составляющих кватерниона.

Разрешая зависимости (6) относительно углов Крылова, можно получить следующие выражения:

$$\begin{aligned} \varphi &= \operatorname{arctg} \frac{-2(\lambda_2 \lambda_3 + \lambda_0 \lambda_1)}{\sqrt{1 - [2(\lambda_2 \lambda_3 - \lambda_0 \lambda_1)]^2}}, \\ \theta &= \operatorname{arctg} \frac{2(\lambda_1 \lambda_3 + \lambda_0 \lambda_2)}{\lambda_0^2 - \lambda_1^2 - \lambda_2^2 + \lambda_3^2}, \\ \psi &= \operatorname{arctg} \frac{2(\lambda_1 \lambda_2 + \lambda_0 \lambda_3)}{\lambda_0^2 - \lambda_1^2 + \lambda_2^2 - \lambda_3^2}. \end{aligned} \quad (7)$$

Они удобны для построения графиков в привычных переменных. Вырождение аргументов арктангенсов при значениях углов  $\pm(2k+1)\pi/2$  ( $k = 0, 1, \dots$ ) легко обходится в вычислительной программе.

При численном интегрировании системы уравнений (2)–(5) следует помнить, что уравнения (5) содержат только три независимых переменных, поскольку по условию выбора коэффициента пропорциональности проекций вектора поворота [4]  $\lambda_0^2 + \lambda_1^2 + \lambda_2^2 + \lambda_3^2 = 1$ . Поэтому в процессе вычислений следует проводить коррекцию нормы кватерниона. В соответствии с [2] для этого достаточно вместо интегрирования уравнения (5), которое в обозначениях алгебры кватернионов имеет вид  $\dot{\Lambda} = 0.5\Lambda^\circ\omega_E$ , интегрировать уравнение  $\dot{\Lambda} = 0.5\Lambda^\circ\omega_E - k\Lambda(\tilde{\Lambda}^2 - 1)$ , которое превращается в исходное при  $\tilde{\Lambda}^2 = 1$ . Здесь  $\Lambda$  — кватернион,  $\tilde{\Lambda}$  — его норма. Максимальная скорость сходимости нормы кватерниона к единице обеспечивается при  $k = 0.5$ .

Поскольку компьютер оперирует только с главными значениями арктангенсов, в вычислительной программе должен быть заложен алгоритм восстановления полных значений углов ориентации, что реализуется достаточно просто.

#### ЧИСЛЕННЫЙ ПРИМЕР

В качестве иллюстрации рассмотрим поведение на орбите микроспутника общей массой около 70 кг, содержащего устройство для выдвижения гравитационного стабилизатора, приведенное на рис. 6. Здесь показаны следующие координатные оси:  $Bz''$  совпадает с проектным положением оси гравитационного стабилизатора,  $Oy_{gs}$  проходит через центр масс барабана и также связана с несущим телом, оси  $Ou'x'$  связаны с барабаном и до развертывания гравитационного стабилизатора параллельны первым двум из указанных осей,  $\alpha$  — угол их относительного поворота в результате вращения барабана,  $s$  — длина выдвинутой части штанги гравитационного стабилизатора, остальные обозначения очевидны.

Принимая во внимание тот факт, что в результате упругих деформаций штанги гравитационного

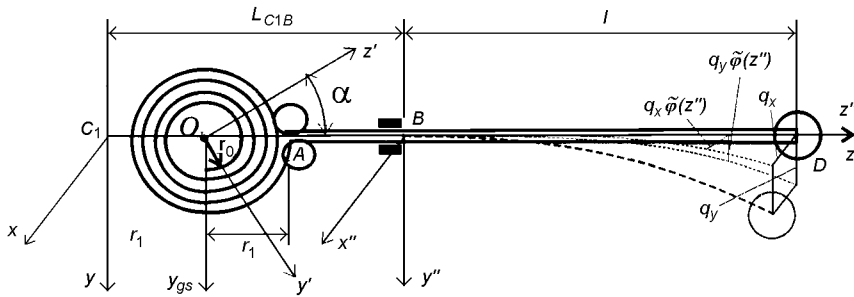


Рис. 6. Механическая модель упругого гравитационного стабилизатора и устройства развертывания

стабилизатора оси связанных базиса перестают совпадать с главными осями инерции КА, для круговой орбиты составляющие гравитационного момента можно записать в следующем виде [1]:

$$\begin{aligned} m_{gs,x}^C &= 3\omega_0^2[(\Theta_{zz}^C - \Theta_{yy}^C)\gamma_1\gamma_2 + \\ &+ \Theta_{xy}^C\gamma_2 - \Theta_{xz}^C\gamma_1 - \Theta_{yz}^C(\gamma_1^2 - \gamma_2^2)], \\ m_{gs,y}^C &= 3\omega_0^2[(\Theta_{xx}^C - \Theta_{zz}^C)\gamma_2\gamma + \\ &+ \Theta_{yz}^C\gamma_1\gamma - \Theta_{yx}^C\gamma_1\gamma_2 - \Theta_{zx}^C(\gamma_2^2 - \gamma_1^2)], \\ m_{gs,z}^C &= 3\omega_0^2[(\Theta_{yy}^C - \Theta_{xx}^C)\gamma\gamma_1 + \\ &+ \Theta_{zx}^C\gamma_2\gamma_1 - \Theta_{zy}^C\gamma_2\gamma - \Theta_{xy}^C(\gamma^2 - \gamma_1^2)], \end{aligned} \quad (8)$$

где  $\Theta_{xx}^C, \dots$  — компоненты тензора инерции развертываемой системы в координатном базисе, оси которого параллельны осям связанных базиса, но имеют начало в центре масс  $C$ . Направляющие косинусы оси  $Cz^{\text{or}}$  в связанных базисе имеют вид [4]

$$\begin{aligned} \gamma &= 2(-\lambda_0\lambda_2 + \lambda_1\lambda_3), \\ \gamma_1 &= 2(\lambda_0\lambda_1 + \lambda_2\lambda_3), \\ \gamma_2 &= \lambda_0^2 - \lambda_1^2 - \lambda_2^2 + \lambda_3^2. \end{aligned}$$

Поскольку компоненты тензора инерции вычислены в связанных осях, в выражениях (8) нужно использовать зависимость  $\Theta^C = \Theta^{C_1} - M(Er_C \cdot r_C - r'_C r_C)$ . Момент внешних сил в уравнении (3) вычисляется относительно точки  $C_1$ . Выражение для него с учетом (8) можно записать следующим образом:  $m_{C_1}^C = m^C + r'_C \times V_s$ . Вектор  $V_s$  равнодействующей внешних сил в рассматриваемом случае тождественно равен нулю, поскольку равнодействующая гравитационных сил уравновешена центробежной силой, возникающей при движении КА по орбите.

Приведем выражения для основных величин, определяющих коэффициенты уравнений движения применительно к схеме системы выдвижения гравитационного стабилизатора, показанной на рис. 6,

используя следующие обозначения:

$$\begin{aligned} F_1(t) &= \int_0^{s(t)} \tilde{\varphi}(z'') dz, \\ F_2(t) &= \int_0^{s(t)} \tilde{\varphi}(z'')(z'' + L_{C_1B}) dz, \\ F_3(t) &= \int_0^{s(t)} (\tilde{\varphi}(z''))^2 dz, \\ F_4(t) &= \int_0^{s(t)} \frac{\partial \tilde{\varphi}(z'')}{\partial z''^2} dz, \end{aligned}$$

Здесь  $\tilde{\varphi}(z'')$  — первая собственная форма поперечных парциальных колебаний упругого стержня длины  $s(t)$  с точечной массой  $m_{gs}$  на конце.

Радиусы-векторы характерных точек системы: центра масс груза —  $r_D = \{q_x, q_y, L_{C_1B}\}$ , центра масс изогнутой штанги —  $r_{C_1} = \{q_x/F_1(t), q_y/F_1(t), s + L_{C_1B}\}$ , центра масс ленты на барабане —  $r_{O_1} = \{0, 0, s + L_{C_1B}\}$ . Текущая масса ленты на барабане  $m_{dl} = m_l(L - s)$ , наружный радиус намотки ленты на барабане  $r_1 = r_0 + \kappa(\Phi - \alpha)$ . Здесь  $\kappa = \delta/2\pi$ ,  $\delta$  — толщина ленты,  $m_l$  — погонная масса штанги гравитационного стабилизатора,  $\Phi$  — максимальное значение угла поворота барабана при выдвижении штанги.

Компоненты тензора инерции  $\Theta^{C_1}$  в связанных базисе записываются следующим образом:

$$\begin{aligned} \Theta_{xx} &= J_{xx} + m_{dl} \left( \frac{r_1^2 + r_0^2}{2} + L_{C_1O}^2 \right) + m_{gs}(r_D(2)^2 + r_D(3)^2) + \\ &+ m_l \left( \frac{z_D^3 - z_B^3}{3} + q_y^2 F_3 \right), \\ \Theta_{yy} &= J_{yy} + m_{dl} \left( \frac{3r_1^2 + 3r_0^2 + b^2}{12} + L_{C_1O}^2 \right) + \\ &+ m_{gs}(r_D(1)^2 + r_D(3)^2) + m_l \left( \frac{z_D^3 - z_B^3}{3} + q_x^2 F_3 \right), \end{aligned}$$

$$\begin{aligned}\Theta_{zz} &= J_{zz} + m_{dl} \frac{3r_1^2 + 3r_0^2 + b^2}{12} + \\ &+ m_{gs}(r_D(1)^2 + r_D(2)^2) + m_l(q_x^2 + q_y^2)F_3, \\ \Theta_{xy} &= J_{xy} + (m_{gs} + m_l)F_3q_xq_y, \\ \Theta_{xz} &= J_{xz} + (m_{gs}(L_{C_1B} + s) + m_lF_2)q_x, \\ \Theta_{yz} &= J_{yz} + (m_{gs}(L_{C_1B} + s) + m_lF_2)q_y.\end{aligned}$$

Здесь  $J_{xx}, J_{xy} \dots$  — компоненты тензора инерции для гиростатической части системы. Остальные выражения, входящие в уравнения движения, получаются из приведенных по известным формулам.

При численном моделировании зададимся следующими базовыми значениями основных параметров системы: масса несущего тела  $m_l = 55$  кг, масса груза стабилизатора  $m_{gs} = 10$  кг, масса одного метра ленты  $m_l = 0.17$  кг, толщина ленты  $\delta = 0.15$  мм, максимальная длина выдвижения гравитационного стабилизатора  $L = 10$  м, начальные отклонения по углам ориентации — нулевые, значения составляющих вектора угловой скорости КА в момент начала выдвижения гравитационного стабилизатора находятся в диапазоне  $0.0—0.05 \text{ c}^{-1}$ . Длительность выдвижения (свертывания) гравитационного стабилизатора  $T_f - T_0 = 30$  с, закон выдвижения (свертывания) во времени соответствует плавному выходу на постоянную скорость в течение 5 с и такой же остановке процесса. Изгибная жесткость  $EJ = 50 \text{ кг} \cdot \text{м}^{-1} \text{с}^{-2}$ , момент инерции барабана для

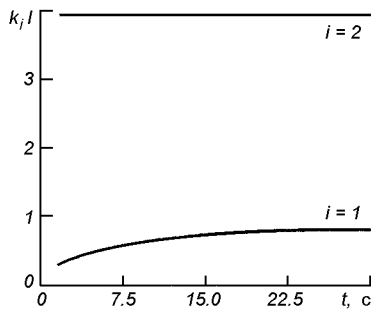


Рис. 7. Зависимость первых двух парциальных частот упругих колебаний от времени при принятом законе выдвижения гравитационного стабилизатора

Зависимость первых двух парциальных частот упругих колебаний от времени

$t, \text{ с}$	2	3	5	8	11	15	20	25	30
$W_1, \text{ с}^{-1}$	42.05	12.45	2.690	0.824	0.428	0.2404	0.1450	0.0994	0.0849
$W_2, \text{ с}^{-1}$	7139.9	1411.3	183.29	38.02	15.98	7.430	3.8165	2.3241	1.8887

ленты  $J_{dr} = 0.01 \text{ кг} \cdot \text{м}^2$ , диагональные компоненты тензора инерции несущего тела  $J_{xx} = 8 \text{ кг} \cdot \text{м}^2$ ,  $J_{yy} = 8 \text{ кг} \cdot \text{м}^2$ ,  $J_{zz} = 6 \text{ кг} \cdot \text{м}^2$ ,  $r_0 = 0.1 \text{ м}$ ,  $L_{ob} = 0.3 \text{ м}$ ,  $L_{C_1B} = 0.6 \text{ м}$ , декремент колебаний штанги  $\theta = 0.02\dots0.05$ . В качестве момента внешних сил, действующих на систему в течение времени моделирования ее поведения, рассмотрим момент от центрального ньютона поля сил, моделирующего гравитационное поле Земли на круговой орбите с высотой 600 км.

Численное решение задачи Коши проводится методом Рунге — Кутта четвертого порядка с постоянным шагом интегрирования 0.01 с. Прежде всего проследим изменение первой собственной формы и частоты упругой штанги по мере выдвижения гравитационного стабилизатора. Зависимость двух первых корней характеристического уравнения показана на рис. 7. Зависимость первых двух парциальных частот упругих колебаний от времени приведена в таблице.

Изменение ординат первой парциальной формы во времени в зависимости от длины  $s$  выдвинутой части гравитационного стабилизатора показано на рис. 8.

Из оценки соответствующих числовых данных следует, что ординаты первой формы парциальных колебаний от второй секунды выдвижения и до его завершения изменяются максимум на 20 %. Тем не

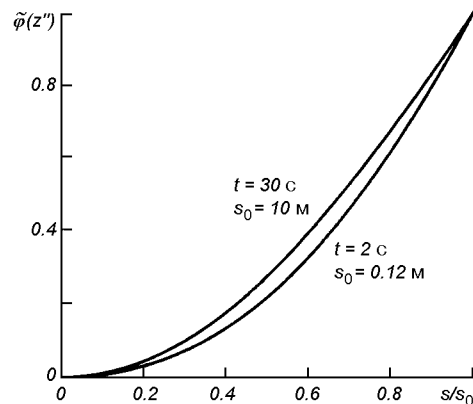


Рис. 8. Изменение ординат первой парциальной формы во времени в зависимости от длины  $s$  выдвинутой части гравитационного стабилизатора

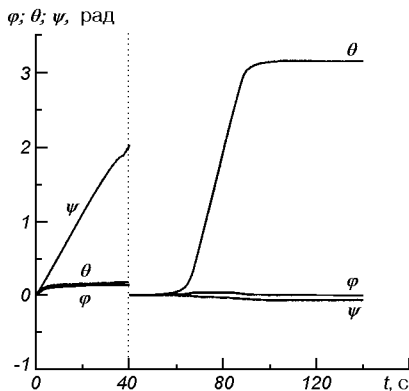


Рис. 9. Поведение углов ориентации при начальном развертывании гравитационного стабилизатора и при свертывании-развертывании с целью изменения ориентации оси  $Cz'$  на противоположную

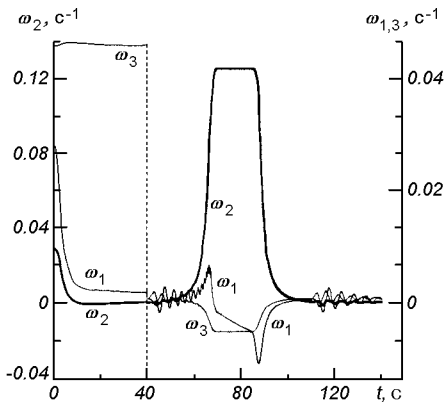


Рис. 10. Поведение проекций угловых скоростей на связанные оси при начальном развертывании гравитационного стабилизатора и при свертывании-развертывании

менее, учет таких изменений необходим, так как значения интегральных коэффициентов будут изменяться во времени заметнее.

Для демонстрации возможностей построенной математической модели и написанного для ее численной реализации пакета вычислительных программ рассмотрим два характерных режима функционирования гравитационно стабилизированного КА. Такими режимами являются:

1. Первоначальное развертывание гравитационного стабилизатора после предварительного успокоения.

2. Свертывание и последующее развертывание гравитационного стабилизатора с целью изменения ориентации оси  $Cz'$  на противоположную.

Для начального момента первого режима, который следует после режима предварительного успокоения КА, выведенного на орбиту, характерны

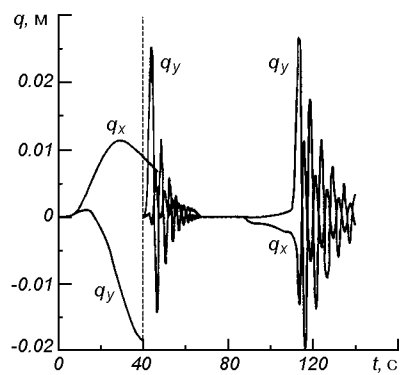


Рис. 11. Поведение проекций относительных упругих отклонений центра масс груза гравитационного стабилизатора на оси связанного базиса при начальном развертывании гравитационного стабилизатора и при свертывании-развертывании

значения проекций абсолютной угловой скорости в диапазоне  $\pm(0.03 \dots 0.05)$  рад/с. Для второго в начальный момент времени характерна ориентация в орбитальном базисе, т. е. вектор абсолютной угловой скорости может быть принят в виде  $\omega = \{0, \omega_{\text{ор}}^{\text{бр}}, 0\}$ . Что касается углов ориентации, то в обоих случаях их значения можно принять нулевыми.

На рис. 9—11 для указанных режимов показано поведение во времени углов ориентации, проекций угловых скоростей несущего тела относительно орбитального базиса и относительных упругих перемещений  $q_x$ ,  $q_y$  центра масс груза гравитационного стабилизатора. Первые 40 с занимает первый режим, сам процесс первоначального развертывания длится 30 с, как описано выше. Хотя начальные угловые скорости в первом режиме существенно больше, чем во втором, суммарный кинетический момент значительно меньше, поскольку компоненты тензора инерции до развертывания малы. По мере выдвижения гравитационного стабилизатора в первом режиме компоненты относительной угловой скорости  $\omega_1$ ,  $\omega_2$  существенно уменьшаются, в то же время составляющая  $\omega_3$  практически не изменяется, поскольку  $\Theta_{zz}$  при этом остается без заметных изменений. Возникающие изменения значений составляющих вектора угловой скорости достаточно плавны и не вызывают колебаний упругого гравитационного стабилизатора. Относительные упругие перемещения груза на этом режиме носят квазистатический характер, повторяя поведение соответствующих составляющих вектора углового ускорения.

Режим свертывания-развертывания упругого гравитационного стабилизатора моделируется начиная с момента времени  $t = 40$  с. Хотя модуль вектора

абсолютной угловой скорости в этот момент невелик, абсолютный кинетический момент КА при этом значительный из-за большого значения составляющей  $\Theta_{yy}$  тензора инерции. По мере втягивания гравитационного стабилизатора путем наматывания ленты на барабан в результате существенного уменьшения составляющей  $\Theta_{yy}$  резко увеличивается  $\omega_2$ . Поскольку ось барабана с лентой в рассматриваемом случае расположена вдоль оси  $Cx'$ , его вращение вызывает угловые движения вокруг оси  $Cx'$ , и в силу гироскопической связности системы — вокруг оси  $Cz'$ . В результате резкого изменения значений составляющих  $\omega$  возникают заметные относительные колебания груза гравитационного стабилизатора. По мере втягивания штанги частота колебаний увеличивается, а амплитуда уменьшается. С завершением процесса втягивания штанги при  $t = 70$  с упругие колебания, естественно, прекращаются. КА со свернутым гравитационным стабилизатором вращается в основном вокруг оси  $Cy'$ . При правильно выбранном начале выдвижения гравитационного стабилизатора (в нашем случае время начала повторного выдвижения  $t = 96$  с) к моменту окончания выдвижения ось КА  $Cz'$  изменит ориентацию на противоположную. Поскольку в процессе повторного выдвижения гравитационного стабилизатора также возникает заметное изменение составляющих вектора угловой скорости, снова возбуждаются упругие относительные колебания. В отличие от режима втягивания здесь упругие колебания начинают проявляться перед

окончанием выдвижения (в момент времени, соответствующий минимуму ускорения выдвижения), когда значения угловых скоростей и ускорений заметно снижаются.

Полученные результаты демонстрируют метод математического описания динамики системы с программно изменяемой геометрией и поведение реального малого космического аппарата в процессе выдвижения (свертывания) упругого гравитационного стабилизатора.

Работа выполнена частично в рамках проекта УНТЦ 752.

1. Белецкий В. В. Движение искусственного спутника относительно центра масс. — М.: Наука, 1965.—416 с.
2. Бранец В. Н., Шмыглевский И. П. Применение кватернионов в задачах ориентации твердого тела. — М.: Наука, 1973.—320 с.
3. Виттенбург Й. Динамика систем твердых тел. — М.: Мир, 1980.—292 с.
4. Лурье А. И. Аналитическая механика. — М.: Физматгиз.—1961.—824 с.

#### DYNAMICS OF A DEFORMED SPACE SYSTEM OF BODIES WITH PROGRAMMED CHANGE OF THE CONFIGURATION

V. I. Dranovskiy, A. E. Zakrzhevskiy, V. S. Khoroshylow

A generalized mathematical model is developed and computer simulation is performed for the dynamics of a spacecraft carrying an elastic body of variable geometry caused by programmed deployment of compact system in lengthened elastic element like antenna or gravitational stabilizer boom.